

## МАТЕМАТИЧНА СТРУКТУРА ПОТОКОВОГО ШИФРУ СТРУМОК

## Вступ

Важливим механізмом криптографічного захисту інформації є потокове симетричне шифрування [1, 2]. Воно застосовується для забезпечення послуги конфіденційності та цілісності (як додаткової послуги) інформації під час обробки інформації в інформаційних, телекомунікаційних та інформаційно-телекомунікаційних системах [1].

Останніми роками вимоги до сучасних алгоритмів потокового шифрування істотно зросли [3 – 5]: з одного боку, потрібно забезпечувати високу швидкість криптографічного перетворення (понад 10 Гбит/с), з іншого – необхідно ефективно протистояти новітнім методам криптографічного аналізу, в тому числі із застосуванням квантових методів обчислення.

Отже розробка, дослідження та поступове впровадження нових методів потокового симетричного шифрування є актуальною та надзвичайно важливою науково-прикладною проблемою національного рівня.

Зазвичай операція потокового шифрування є побітовою операцією XOR між ключовим потоком і повідомленням. У ISO/IEC 18033-4:2011 описано вихідні функції для різних поточкових шифрів, та певні генератори псевдовипадкових чисел, які призначено для захисту інформації з обмеженим доступом, зокрема, для забезпечення конфіденційності інформації під час її обробки [6]. Метою цієї роботи є викладення основних результатів з розробки нового генератора псевдовипадкових чисел (ключового потоку), який позначено «Струмок», та який пропонується у якості кандидата на національний стандарт симетричного шифрування в Україні [7 – 18]. Генератор «Струмок» забезпечує високу швидкість формування ключового потоку (понад 10 Гбіт/с), яка перевищує більшість відомих алгоритмів, та придатний до застосування в постквантовому середовищі [7 – 9].

## Загальні параметри потокового шифру

В основі алгоритму *Струмок* лежить класична схема підсумовуючого генератора [1, 2, 6, 7], подібна генератору *SNOW-2.0*, який визначено в ISO/IEC 18033-4:2011 [6]. Алгоритм *Струмок* використовує 256-бітний вектор ініціалізації *IV* та 256-бітний або 512-бітний секретний ключ *K* і забезпечує високий та надвисокий рівень стійкості із врахуванням можливого застосування квантового криптографічного аналізу. Криптоалгоритм орієнтований на 64-розрядні обчислювальні системи, отже розмір слова визначено рівним 64 бітам.

Основними структурними компонентами генератору є регістр зсуву з лінійним зворотнім зв'язком (linear feedback shift register, *LFSR*) та скінченний автомат (finite-state machine, *FSM*), в якому виконується нелінійне перетворення. Вхідні дані використовуються для ініціалізації змінної стану  $S_i (i \geq 0)$ , яка складається з вісімнадцяти 64-бітових блоків, до складу яких входить дві компоненти:

- 16 змінних  $s^{(i)}$  – комірок регістра зсуву з лінійним зворотнім зв'язком:

$$s^{(i)} = (s_{15}^{(i)}, s_{14}^{(i)}, \dots, s_0^{(i)});$$

- два регістри скінченного автомату  $r^{(i)} : r^{(i)} = (r_2^{(i)}, r_1^{(i)})$ .

На виході отримуємо ключовий потік (гаму шифру), який формується з 64-бітових слів  $Z_i$ . Схематичне зображення функціонування генератора ключових потоків *Струмок* в довільний момент часу  $i$  наведено на рис. 1. Змінну часової залежності  $i$  не наведено.

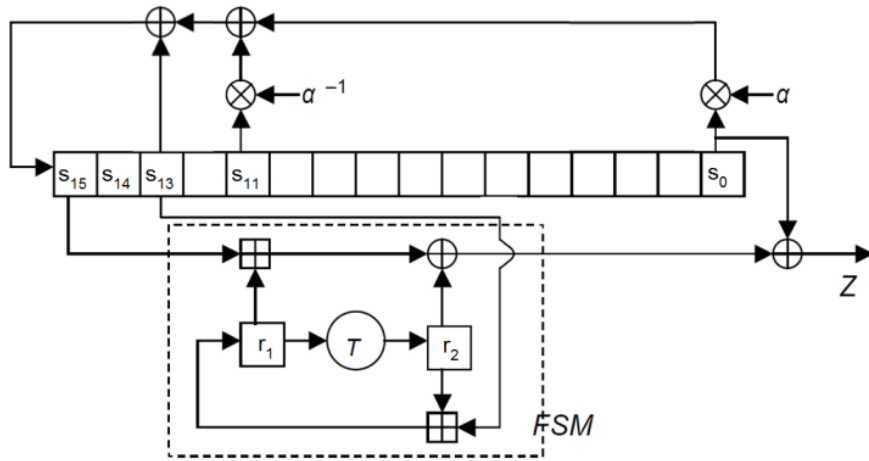


Рис. 1. Схематичне зображення генератора ключових потоків *Струм* у режимі генерації гами шифру (ключового потоку)

Відводи зворотного зв'язку у LFSR будується за примітивним над полем  $GF(2^{64})$  поліномом

$$f(x) = x^{16} + x^{13} + \alpha^{-1}x^{11} + \alpha,$$

де  $\alpha$  є коренем примітивного над полем  $GF(2^8)$  поліному

$$g(z) = z^8 + \beta^{170}z^7 + \beta^{166}z^6 + \beta^2z^5 + \beta^{224}z^4 + \beta^{70}z^3 + \beta^2.$$

В свою чергу поле  $GF(2^8)$  будується за примітивним над полем  $GF(2)$  поліномом

$$p(y) = y^8 + y^4 + y^3 + y^2 + 1,$$

а коефіцієнти поліному  $g(z)$  подаються через ступінь примітивного елемента  $\beta$  поля  $GF(2^8)$ , тобто  $\beta$  – корінь поліному  $p(y)$ .

Таким чином, маємо вежу полів:

$$GF(2) \subset GF(2^8) \subset GF(2^{64}) \subset GF(2^{1024}),$$

де

- поле  $GF(2^{1024})$  задається відводами зворотного зв'язку LFSR як факторкільце  $GF(2^{64})[x]/(f(x))$ ,
- поле  $GF(2^{64})$  задається як факторкільце  $GF(2^8)[z]/(g(z))$ ,
- поле  $GF(2^8)$  задається як факторкільце  $GF(2)[y]/(p(y))$ .

Отже період вихідної послідовності LFSR є максимальним і дорівнює  $2^{1024} - 1$ .

Структурно в алгоритмі *Струм* можна виділити три основні функції:

- функція ініціалізації *Init*, яка приймає в якості вхідних даних ключ  $K$  (256 біт або 512 біта) і вектор ініціалізації  $IV$  (256 біт), і виробляє початкове значення змінної стану

$$S_0 = (s^{(0)}, r^{(0)});$$

- функція наступного стану *Next*, яка приймає на вхід змінну стану

$$S_i = (s^{(i)}, r^{(i)})$$

і виробляє наступне значення змінної стану

$$S_{i+1} = (s^{(i+1)}, r^{(i+1)}).$$

Функція *Next* може виконуватися в двох режимах, в залежності від способу виконання ітерації – як частини реалізації або як частини нормального режиму генерації вихідних даних;

- функція ключового потоку *Strm*, що приймає на вході змінну стану  $S_i = (s^{(i)}, r^{(i)})$  і виробляє на виході 64-бітний ключовий потік  $Z_i$ .

## Функція ініціалізації внутрішнього стану *Init*

Функція ініціалізації внутрішнього стану *Init* описується наступним чином.

*Вхід*: 256 або 512-бітний ключ  $K$ , 256-бітний вектор ініціалізації  $IV$ .

*Вихід*: початкове значення змінної стану  $S_0 = (s^{(0)}, r^{(0)})$ .

Ключ для версії потокового шифру *Струмук-256* можна представити у вигляді чотирьох 64-бітних слів

$$K = (K_3, K_2, K_1, K_0)$$

а для 512-бітного ключа – у вигляді восьми 64-бітних слів

$$K = (K_7, K_6, K_5, K_4, K_3, K_2, K_1, K_0),$$

де  $K_3$  та  $K_7$ , відповідно для 256 и 512 біт, найбільш значущі слова, а  $K_0$  – найменш значущі.

Вектор ініціалізації можна представити у вигляді чотирьох 64-бітних слів

$$IV = (IV_3, IV_2, IV_1, IV_0),$$

де  $IV_3$  – найбільш значуще слово, а  $IV_0$  – найменш значуще.

1. В 16 комірок LFSR заноситься значення ключа.

Для версії з 256-бітним ключем виконуються операції:

$$\begin{aligned} s_{15}^{(-33)} &= \neg K_0, s_{14}^{(-33)} = K_1, s_{13}^{(-33)} = \neg K_2, s_{12}^{(-33)} = K_3, s_{11}^{(-33)} = K_0, s_{10}^{(-33)} = \neg K_1, s_9^{(-33)} = K_2, s_8^{(-33)} = K_3, \\ s_7^{(-33)} &= \neg K_0, s_6^{(-33)} = \neg K_1, s_5^{(-33)} = K_2 \oplus IV_3, s_4^{(-33)} = K_3, s_3^{(-33)} = K_0 \oplus IV_2, s_2^{(-33)} = K_1 \oplus IV_1, \\ s_1^{(-33)} &= K_2, s_0^{(-33)} = K_3 \oplus IV_0. \end{aligned}$$

Для версії з 512-бітним ключем  $K$  виконуються операції:

$$\begin{aligned} s_{15}^{(-33)} &= K_0, s_{14}^{(-33)} = \neg K_1, s_{13}^{(-33)} = K_2, s_{12}^{(-33)} = K_3, s_{11}^{(-33)} = \neg K_7, s_{10}^{(-33)} = K_5, s_9^{(-33)} = \neg K_6, \\ s_8^{(-33)} &= K_4 \oplus IV_3, s_7^{(-33)} = \neg K_0, s_6^{(-33)} = K_1, s_5^{(-33)} = K_2 \oplus IV_2, s_4^{(-33)} = K_3, s_3^{(-33)} = K_4 \oplus IV_1, \\ s_2^{(-33)} &= K_5, s_1^{(-33)} = K_6, s_0^{(-33)} = K_7 \oplus IV_0. \end{aligned}$$

2. Виконуються 32 ініціюючих такти без генерації ключового потоку, тобто чотири повних циклів. Формально це подається наступним чином:

$$S_{-1} = Next^{32}(S_{-33}, INIT),$$

що означає 32 ітерації з виконання функції *Next* у режимі ініціалізації *INIT*,  $S_{-33} = (s^{(-33)}, r^{(-33)})$  – обраховані на попередньому кроці значення змінної стану.

3. Розраховується початкове значення змінної стану  $S_0 = (s^{(0)}, r^{(0)})$  за правилом:  $S_0 = Next(S_{-1})$ , тобто шляхом виконання функції *Next* у звичайному режимі.

4. Виводиться вихідне значення  $S_0 = (s^{(0)}, r^{(0)})$ .

## Функція наступного стану *Next*

Функція стану *Next* описується наступним чином.

*Вхід*: Змінна стану  $S_i = (s^{(i)}, r^{(i)})$ , обраний режим (звичайний, або режим ініціалізації).

*Вихід*: Наступне значення змінної стану  $S_{i+1} = (s^{(i+1)}, r^{(i+1)})$ .

1. Виконується нелінійна підстановка для оновлення значення регістру  $r_2^{(i+1)}$  скінченного автомату. Для цього розраховується значення функції  $T: r_2^{(i+1)} = T(r_1^{(i)})$ .

2. Оновлюється значення регістру  $r_1^{(i+1)}$  скінченного автомату. Для цього розраховується значення

$$r_1^{(i+1)} = r_2^{(i+1)} +_{64} s_{13}^{(i)},$$

де  $+_{64}$  позначає операцію додавання цілих чисел за модулем  $2^{64}$  (у схемі шифру на рис. 1 цю операцію позначено як  $\boxplus$ ).

3. Оновлюється значення 15 комірок *LFSR*

$$s_j^{(i+1)} = s_{j+1}^{(i)}$$

для всіх  $j = 0, 1, \dots, 14$ .

4. Оновлюється значення 16-ї комірки *LFSR*. Якщо встановлено звичайний режим функції *Next*, значення цієї комірки обчислюється за правилом

$$s_{15}^{(i+1)} = (s_0^{(i)} \otimes \alpha) \oplus (s_{11}^{(i)} \otimes \alpha^{-1}) \oplus s_{13}^{(i)}.$$

Якщо встановлено режим ініціалізації *INIT* функції *Next*, значення обчислюється за правилом

$$s_{15}^{(i+1)} = FSM(s_{15}^{(i)}, r_1^{(i)}, r_2^{(i)}) \oplus (s_0^{(i)} \otimes \alpha) \oplus (s_{11}^{(i)} \otimes \alpha^{-1}) \oplus s_{13}^{(i)}.$$

Операції множення  $\otimes$  на  $\alpha$  та на  $\alpha^{-1}$  та сутність функції *FSM* пояснюються далі.

5. Обчислюється та виводиться значення змінної стану  $S_i = (s^{(i)}, r^{(i)})$ .

Схематичне зображення генератора ключових потоків *Струмок* при виконанні функції *Next* у режимі ініціалізації представлено на рис. 2.

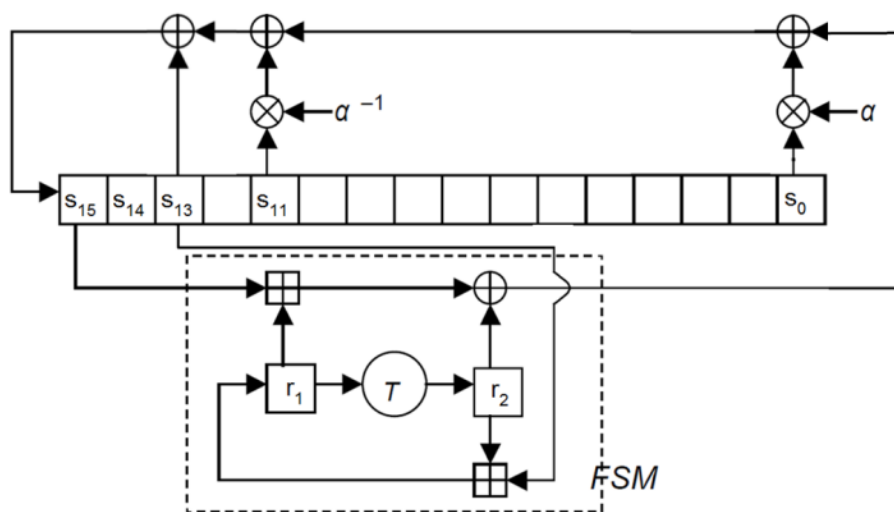


Рис. 2. Схематичне зображення генератора ключових потоків *Струмок* у режимі ініціалізації функції *Next*

### Функція ключового потоку *Strm*

Функція ключового потоку *Strm* описується наступним чином.

*Вхід*: Змінна стану  $S_i = (s^{(i)}, r^{(i)})$ .

*Вихід*: 64-бітовий ключовий потік  $Z_i$ .

1. Обчислюється значення

$$Z_i = FSM(s_{15}^{(i)}, r_1^{(i)}, r_2^{(i)}) \oplus s_0^{(i)}.$$

2. Виводиться вихідне значення  $Z_i$ .

### Функція скінченного автомату *FSM*

Функція скінченного автомату позначається як *FSM* ( $x, y, z$ ) та описується наступним чином.

*Вхід*: три 64-бітових рядка  $x, y$  і  $z$ .

*Вихід*: 64-бітовий рядок  $q$ .

1. Обчислюється значення  $q = (x +_{64} y) \oplus z$ .

2. Виводиться вихідне значення  $q$ .

### Функція нелінійної підстановки $T$

Функція нелінійної підстановки  $T$  реалізує перестановку елементів скінченного поля  $GF(2^{64})$  за допомогою компонентів національного стандарту блокового симетричного шифрування ДСТУ 7624:2014 [19].

Вхід: 64-бітовий рядок  $w$ .

Вихід: 64-бітовий рядок  $T = T(w)$ .

1. Вхідний 64-бітовий рядок  $w$  розбивається на підблоки  $w_j$  по 8 біт:

$$w = (w_7, w_6, w_5, w_4, w_3, w_2, w_1, w_0),$$

2. Для кожного підблоку  $w_j$  виконується підстановка з алгоритму ДСТУ 7624:2014 за допомогою чотирьох таблиць перетворень  $\pi_0, \pi_1, \pi_2, \pi_3$  (див. додаток Б). Виконання функції  $T$  за допомогою цих перетворень схематично (на прикладі підблоків  $w_j$ , що подано у шістнадцятковому вигляді) зображено на рис. 3.

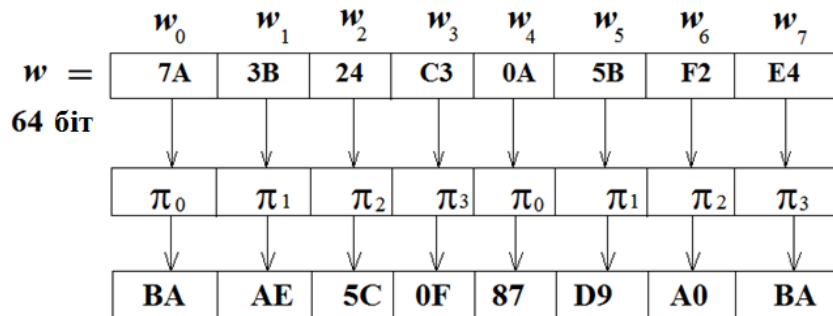


Рис. 3. Схематичне зображення виконання процедури підстановки  $T = T(w)$

У результаті формується вихідний вектор  $r = (r_7, r_6, r_5, r_4, r_3, r_2, r_1, r_0)$ :

$$r_j = \pi_{j \bmod 4} [w_j],$$

де  $j = 0, 1, \dots, 7$ .

3. Обчислюється вектор

$$q = (q_7, q_6, q_5, q_4, q_3, q_2, q_1, q_0)$$

за правилом

$$\begin{pmatrix} q_0 \\ q_1 \\ q_2 \\ q_3 \\ q_4 \\ q_5 \\ q_6 \\ q_7 \end{pmatrix} = \begin{pmatrix} 01 & 01 & 05 & 01 & 08 & 06 & 07 & 04 \\ 04 & 01 & 01 & 05 & 01 & 08 & 06 & 07 \\ 07 & 04 & 01 & 01 & 05 & 01 & 08 & 06 \\ 06 & 07 & 04 & 01 & 01 & 05 & 01 & 08 \\ 08 & 06 & 07 & 04 & 01 & 01 & 05 & 01 \\ 01 & 08 & 06 & 07 & 04 & 01 & 01 & 05 \\ 05 & 01 & 08 & 06 & 07 & 04 & 01 & 01 \\ 01 & 05 & 01 & 08 & 06 & 07 & 04 & 01 \end{pmatrix} \cdot \begin{pmatrix} r_0 \\ r_1 \\ r_2 \\ r_3 \\ r_4 \\ r_5 \\ r_6 \\ r_7 \end{pmatrix},$$

де елементи матриці (подано у шістнадцятковому вигляді) та векторів  $r$  і  $q$  інтерпретуються як елементи скінченного поля  $GF(2^8)$ , яке задане як факторкільце  $GF(2)[y]/(p(y))$ .

Цю операцію можна записати у скороченому вигляді (як у ДСТУ 7624:2014):

$$q_i = (v \ggg i) r^T,$$

де  $v = (01, 01, 05, 01, 08, 06, 07, 04)$ ,  $\ggg i$  – операція циклічного зсуву на  $i$  розрядів праворуч,  $i = 0, 1, \dots, 7$ ,

$$r^T = (r_0, r_1, r_2, r_3, r_4, r_5, r_6, r_7)^T.$$

4. Виводиться вихідне значення  $q$ , яке інтерпретується як 64-бітовий рядок.

Швидке обчислення вектору  $(q_0, q_1, q_2, q_3, q_4, q_5, q_6, q_7) = Q$  реалізується за правилом

$$Q^T = T_0[w_0] \oplus T_1[w_1] \oplus T_2[w_2] \oplus T_3[w_3] \oplus T_4[w_4] \oplus T_5[w_5] \oplus T_6[w_6] \oplus T_7[w_7],$$

де

$$\begin{aligned}
 T_0[a] &= \begin{pmatrix} 01 \\ 04 \\ 07 \\ 06 \\ 08 \\ 01 \\ 05 \\ 01 \end{pmatrix} \cdot \pi_0[a], & T_1[a] &= \begin{pmatrix} 01 \\ 01 \\ 04 \\ 07 \\ 06 \\ 08 \\ 01 \\ 05 \end{pmatrix} \cdot \pi_1[a], & T_2[a] &= \begin{pmatrix} 05 \\ 01 \\ 01 \\ 04 \\ 07 \\ 06 \\ 08 \\ 01 \end{pmatrix} \cdot \pi_2[a], & T_3[a] &= \begin{pmatrix} 01 \\ 05 \\ 01 \\ 01 \\ 04 \\ 07 \\ 06 \\ 08 \end{pmatrix} \cdot \pi_3[a], \\
 T_4[a] &= \begin{pmatrix} 08 \\ 01 \\ 05 \\ 01 \\ 01 \\ 04 \\ 07 \\ 06 \end{pmatrix} \cdot \pi_0[a], & T_5[a] &= \begin{pmatrix} 06 \\ 08 \\ 01 \\ 05 \\ 01 \\ 01 \\ 04 \\ 07 \end{pmatrix} \cdot \pi_1[a], & T_6[a] &= \begin{pmatrix} 07 \\ 06 \\ 08 \\ 01 \\ 05 \\ 01 \\ 01 \\ 04 \end{pmatrix} \cdot \pi_2[a], & T_7[a] &= \begin{pmatrix} 04 \\ 07 \\ 06 \\ 08 \\ 01 \\ 05 \\ 01 \\ 01 \end{pmatrix} \cdot \pi_3[a].
 \end{aligned}$$

Застосування таблиць-констант  $T_i[a]$ ,  $i=0,1,\dots,7$  дозволяє значно зменшити кількість операцій, зокрема функція нелінійної підстановки обчислюється за сім операцій XOR над 64-бітовими рядками.

### Множення на $\alpha$ в арифметиці поля $GF(2^{64})$

Множення на  $\alpha$  в арифметиці поля  $GF(2^{64})$  реалізується за допомогою таблиці передобчислень  $Mul_\alpha$  з 256 рядків по 64 бітів в кожному.

*Вхід:* 64-бітовий рядок  $w$ , що представляє елемент поля  $GF(2^{64})$ .

*Вихід:* 64-бітовий рядок  $w' = w \otimes \alpha$ , що представляє елемент поля  $GF(2^{64})$ .

1. Обчислюється значення

$$w' = (w \ll 8) \oplus Mul_\alpha[w \gg 56], \quad (1)$$

де  $w \ll 8$  є результатом зсуву ліворуч (в бік старших розрядів) 64-бітового рядка  $w$  на вісім розрядів із заповненням молодших розрядів нульовими значеннями;

$w \gg 56$  є результатом зсуву праворуч (в бік молодших розрядів) 64-бітового рядка  $w$  на 56 розрядів із заповненням старших розрядів нульовими значеннями. Вісім молодших розрядів вектору  $w \gg 56$  інтерпретуються як елемент поля  $GF(2^8)$  для індексації таблиці передобчислень  $Mul_\alpha$ ;

$Mul_\alpha$  – таблиця-константа з 256 рядків по 64 біта в кожному (таблиця передобчислень);

$Mul_{\alpha}[c]$  – 64-бітне значення таблиці передобчислень у рядку з індексом  $c$ , де  $c$  представляє елемент поля  $GF(2^8)$ ,  $Mul_{\alpha}[c]$  представляє елемент поля  $GF(2^{64})$ .

2. Виводиться вихідне значення  $w'$ .

### Множення на $\alpha^{-1}$ в арифметиці поля $GF(2^{64})$

Множення на  $\alpha^{-1}$  в арифметиці поля  $GF(2^{64})$  реалізується за допомогою таблиці передобчислень  $Mul_{\alpha^{-1}}$  з 256 рядків по 64 бітів в кожному.

*Вхід:* 64-бітовий рядок  $w$ , що представляє елемент поля  $GF(2^{64})$ .

*Вихід:* 64-бітовий рядок  $w' = w \otimes \alpha^{-1}$ , що представляє елемент поля  $GF(2^{64})$ .

1. Обчислюється значення

$$w' = (w \gg 8) \oplus Mul_{\alpha^{-1}}[w \& \gamma], \quad (2)$$

де  $w \gg 8$  є результатом зсуву праворуч (в бік молодших розрядів) 64-бітового рядка  $w$  на 8 розрядів із заповненням старших розрядів нульовими значеннями;

$w \& \gamma$  є результатом побітової кон'юнкції 64-бітового рядка  $w$  та 64-бітового рядка  $\gamma$ , який у шістнадцятковому поданні має вигляд  $\gamma = 00000000000000FF$ . Вісім молодших розрядів вектору  $w \& \gamma$  інтерпретуються як елемент поля  $GF(2^8)$  для індексації таблиці передобчислень  $Mul_{\alpha^{-1}}$ ;

2. Виводиться вихідне значення  $w'$ .

### Значення таблиць-констант $Mul_{\alpha}$ , $Mul_{\alpha^{-1}}$

Для швидкого шифрування застосовуються таблиці передобчислень  $Mul_{\alpha}$ ,  $Mul_{\alpha^{-1}}$ . Це дозволяє значно зменшити кількість операцій для обробки блоку вхідних даних.

Поліном, що задає зворотний зв'язок LFSR має вигляд  $f(x) = x^{16} + x^{13} + \alpha^{-1}x^{11} + \alpha$ , де  $\alpha$  і  $\alpha^{-1}$  належать полю  $GF(2^{64})$ , причому  $\alpha = z$  є коренем примітивного над полем  $GF(2^8)$  поліному  $g(z)$ . Таким чином, у кожній комірці LFSR зберігається 64-бітна послідовність  $w$ , яку представимо у вигляді восьми підблоків  $w_j$  по вісім біт у кожному:

$$w = (w_7, w_6, w_5, w_4, w_3, w_2, w_1, w_0),$$

які інтерпретуються як коефіцієнти поліному

$$w(z) \in GF(2^8)[z] / (g(z)).$$

Якщо  $\alpha = z$  є коренем примітивного над  $GF(2^8)$  поліному  $g(z) = z^8 + g_7z^7 + \dots + g_1z + g_0$ , тоді маємо:

$$\begin{aligned} w(z) \cdot \alpha &= (w_7z^8 + w_6z^7 + \dots + w_1z^2 + w_0z) \bmod g(z) \equiv \\ &\equiv (w_6 + w_7g_7)z^7 + (w_5 + w_7g_6)z^6 + \dots + (w_0 + w_7g_1)z + (w_7g_0)z^0 = \\ &= w_{<<8}(z) + w_{>>56}(z) \cdot g'(z), \end{aligned}$$

де поліноми  $w_{<<8}(z)$ ,  $w_{>>56}(z)$  та  $g'(z)$  мають вигляд:

$$\begin{aligned} w_{<<8}(z) &= w_6z^7 + w_5z^6 + \dots + w_0z, \\ w_{>>56}(z) &= w_7, \\ g'(z) &= g_7z^7 + g_6z^6 + \dots + g_1z + g_0. \end{aligned}$$

Двійкове подання коефіцієнтів поліномів  $w_{<<8}(z)$  і  $w_{>>56}(z)$  утворює розглянуті у (1) двійкові послідовності  $w_{<<8}$  і  $w_{>>56}$ . Отже, обчислення  $w(z) \cdot \alpha$  в арифметиці поля

$GF(2^{64})$  відповідає формулі (1), де 256 значень таблиці  $Mul_{\alpha}[w_7]$  розраховуються як 64-бітні послідовності при двійковому поданні коефіцієнтів  $(w_7g_7, w_7g_6, \dots, w_7g_1, w_7g_0)$  поліному

$$w_{\gg 56}(z) \cdot g'(z) = w_7(g_7z^7 + g_6z^6 + \dots + g_1z + g_0)$$

для кожного з 256 можливих значень  $w_7 \in GF(2^8)$ .

Якщо  $\alpha = z$  є коренем примітивного над  $GF(2^8)$  поліному  $g(z) = z^8 + g_7z^7 + \dots + g_1z + g_0$ , тоді маємо:

$$\alpha^8 = g_7\alpha^7 + \dots + g_1\alpha + g_0\alpha^0,$$

або

$$\alpha^7 = g_7\alpha^6 + \dots + g_1\alpha^0 + g_0\alpha^{-1},$$

отже

$$g_0^{-1}\alpha^7 + g_0^{-1}g_7\alpha^6 + \dots + g_0^{-1}g_1\alpha^0 = \alpha^{-1} = z^{-1}.$$

Тоді

$$\begin{aligned} w(z)\alpha^{-1} &= w_7z^6 + w_6z^5 + \dots + w_1z^0 + w_0z^{-1} = \\ &= w_7z^6 + w_6z^5 + \dots + w_1z^0 + w_0(g_0^{-1}z^7 + g_0^{-1}g_7z^6 + \dots + g_0^{-1}g_1z^0) = \\ &= (w_0g_0^{-1})z^7 + (w_7 + w_0g_0^{-1}g_7)z^6 + \dots + (w_1 + w_0g_0^{-1}g_1)z^0 = \\ &= w_{\gg 8}(z) + w_0(z) \cdot g''(z), \end{aligned}$$

де поліноми  $w_{\gg 8}(z)$ ,  $w_0(z)$  та  $g''(z)$  мають вигляд:

$$w_{\gg 8}(z) = w_7z^6 + w_6z^5 + \dots + w_2z + w_1,$$

$$w_0(z) = w_0,$$

$$g''(z) = g_0^{-1}z^7 + g_0^{-1}g_7z^6 + \dots + g_0^{-1}g_2z + g_0^{-1}g_1.$$

Двійкове подання коефіцієнтів поліномів  $w_{\gg 8}(z)$  і  $w_0(z)$  утворює розглянуті у (2) двійкові послідовності  $w_{\gg 8}$  і  $\gamma$ . Таким чином, обчислення  $w(z) \cdot \alpha^{-1}$  в арифметиці поля  $GF(2^{64})$  відповідає формулі (2), де 256 значень таблиці  $Mul_{\alpha^{-1}}[w_0]$  розраховуються як 64-бітні послідовності при двійковому поданні коефіцієнтів  $(w_0g_0^{-1}, w_0g_0^{-1}g_7, \dots, w_0g_0^{-1}g_2, w_0g_0^{-1}g_1)$  поліному

$$w_0(z) \cdot g''(z) = w_0(g_0^{-1}z^7 + g_0^{-1}g_7z^6 + \dots + g_0^{-1}g_2z + g_0^{-1}g_1)$$

для кожного з 256 можливих значень  $w_0 \in GF(2^8)$ .

### Дослідження швидкості програмної реалізації

Для дослідження швидкості формування ключового потоку ми реалізували в рівних умовах найбільш відомі симетричні криптоперетворення. Список алгоритмів, джерело специфікації та короткі відомості наведено у табл. 1.

Таблиця 1

Криптоалгоритми, обрані для порівняння

Шифр	Джерело специфікації	Розмір стану, біт	Розмір ключа, біт	Розмір IV, біт
AES	FIPS-197, CRYPTREC, ISO/IEC 18033-4	128	128, 256	256
Калина	ДСТУ 7624:2014	128, 256, 512	128, 256, 512	128, 256, 512
HC	eSTREAM	128, 256	128, 256	128, 256



MICKEY	eSTREAM	160	128	128
RABBIT	ISO/IEC 18033-4, eSTREAM	513	128	64
SALSA-20	eSTREAM	512	128	64
SNOW2.0	ISO/IEC 18033-4	512	128, 256	128, 56
SOSEMANUK	eSTREAM	512	128	128
TRIVIUM	eSTREAM, ISO/IEC 29192-3	288	80	80
Епосоко	ISO/IEC 29192-3	272	80, 128	64
CRYPTMT3	eSTREAM	128	128	64
DECIMv2	ISO/IEC 18033-4, eSTREAM	288	128	128
RC4	Список розсилки Cypherpunks	256	256	–
KCIPHER-2	ISO/IEC 18033-4, CRYPTREC	640	128	128
GRAIN	eSTREAM	128	128	96
MUGI	ISO/IEC 18033-4	128	128	128
Струмок-256	Цей документ	1024	256	256
Струмок-512		1024	512	512

Результати тестування за критерієм шифрування довгих потоків [20] наведено в табл. 2.

Таблиця 2

Результати оцінки швидкодії шифрів

Шифр	Intel Core i7-6820HQ 2.7Gh	Intel Core i7-5500u 2.4Gh	Intel Pentium P6200 2.13Gh
AES-128	2,48	1,75	1,12
AES-256	1,66	1,18	0,80
Калина-128	2,56	1,79	0,83
Калина-256	1,71	1,21	0,57
Калина-512	1,42	0,99	0,46
HC-128	11,46	7,69	4,25
HC-256	5,13	3,88	2,03
MICKEY-128	0,07	0,05	0,03
RABBIT	3,65	2,77	1,64
SALSA-20	3,02	2,06	1,41
SNOW2.0-128	8,76	5,43	3,67
SNOW2.0-256	8,72	5,54	3,59
SOSEMANUK	4,07	2,56	1,82
TRIVIUM	3,89	2,78	1,89
CryptMT3	5,92	4,63	4,04
DECIM-128	0,01	0,01	0,01
RC4	3,58	3,21	1,67
KCIPHER-2	0,40	0,40	0,31
GRAIN	0,01	0,01	0,00
MUGI	3,62	2,98	2,58
Струмок-256	13,31	10,04	5,10
Струмок-512	13,70	9,74	5,08

Як видно із даних таблиці, генератор ключових потоків *Струмок* дозволяє формувати псевдовипадкові послідовності із швидкістю понад 10 Гбіт/с. За цим показником він випереджає майже всі найбільш поширені шифри, зокрема і алгоритм *SNOW2.0*.

## Висновки

Генератор ключового потоку *Струм* у своїй концептуальній схемі подібний до SNOW2.0. Але розробники SNOW2.0 зосереджувалися на використанні 32-розрядних обчислювальних систем, тоді як *Струм* призначений для використання в більш потужних 64-розрядних обчислювальних системах. У зв'язку з цим в алгоритмі *Струм* підвищується швидкість формування псевдовипадкової послідовності, що використовується 64-розрядними словами, для зберігання потоку ключів шифрування. Проведені порівняльні тести показали, що алгоритм *Струм* на 32-розрядних обчислювальних системах також демонструє хороші результати роботи. Використання попереднього обчислення збільшує швидкість алгоритму, оскільки в процесі генерації ключові потоку немає необхідності в складних калькуляціях.

В алгоритмі *Струм* збільшені, в порівнянні з *SNOW2.0*, довжини секретного ключа та вектору ініціалізації. Це дозволяє надійно застосовувати потоковий шифр навіть з іх врахуванням квантових методів криптографічного аналізу. Отже за сукупністю властивостей *Струм* може розглядатися у якості кандидата на національний стандарт симетричного шифрування в Україні.

### Список литературы:

1. Ferguson N. and Schneier B. Practical Cryptography. John Wiley & Sons. 2003. 432 p.
2. Menezes A.J., P.C. van Oorschot, Vanstone S.A. Handbook of Applied Cryptography. CRC Press, 1997, 794 p.
3. Koblitz N. and Menezes A.J. A Riddle Wrapped in an Enigma. Internet: <https://eprint.iacr.org/2015/1018.pdf>, Oct. 20, 2015 [Aug. 21, 2016].
4. Bernstein D., Buchmann J. and Dahmen E.. Post-Quantum Cryptography. Springer-Verlag, Berlin-Heidelberg, 2009, 245 p.
5. Moody D. Post-Quantum Cryptography: NIST's Plan for the Future // The Seventh International Conference on Post-Quantum Cryptography, Japan, 2016. [On-line]. Internet: [https://pqcrypto2016.jp/data/pqc2016\\_nist\\_announcement.pdf](https://pqcrypto2016.jp/data/pqc2016_nist_announcement.pdf) [March 8, 2016].
6. ISO/IEC 18033-4:2011. Information technology – Security techniques – Encryption algorithms – Part 4: Stream ciphers. On-line]. Internet: [http://www.iso.org/iso/home/store/catalogue\\_ics/catalogue\\_detail\\_ics.htm?csnumber=54532](http://www.iso.org/iso/home/store/catalogue_ics/catalogue_detail_ics.htm?csnumber=54532) [Dec., 2012].
7. Kuznetsov O., M. Lutsenko and D. Ivanenko, "Strumok stream cipher: Specification and basic properties," 2016 Third International Scientific-Practical Conference Problems of Infocommunications Science and Technology (PIC S&T), Kharkiv, 2016, pp. 59-62.
8. Kuznetsov O., Gorbenko Y. and Kolovanova I. Combinatorial properties of block symmetric ciphers key schedule, 2016 Third International Scientific-Practical Conference Problems of Infocommunications Science and Technology (PIC S&T), Kharkiv, 2016, pp. 55-58.
9. Gorbenko I., Kuznetsov A., Lutsenko M. and Ivanenko D. The research of modern stream ciphers // 4th International Scientific-Practical Conference Problems of Infocommunications. Science and Technology (PIC S&T), Kharkov, 2017, pp. 207-210.
10. Kuznetsov A., Svatovskij I., Kiyani N. and Pushkar'ov A. Code-based public-key cryptosystems for the post-quantum period // 4th International Scientific-Practical Conference Problems of Infocommunications. Science and Technology (PIC S&T), Kharkov, 2017, pp. 125-130.
11. A. Kuznetsov, I. Kolovanova and T. Kuznetsova. Periodic characteristics of output feedback encryption mode // 4th International Scientific-Practical Conference Problems of Infocommunications. Science and Technology (PIC S&T), Kharkov, 2017. pp. 193-198.
12. Kuznetsov O., Gorbenko Y., Andrushkevych A. and Belozershev I. Analysis of block symmetric algorithms from international standard of lightweight cryptography ISO/IEC 29192-2. 2017 // 4th International Scientific-Practical Conference Problems of Infocommunications. Science and Technology (PIC S&T). Kharkov, 2017. pp. 203-206.
13. Izbenko Y., Kovtun V. and Kuznetsov A. The Design of Boolean Functions by Modified Hill Climbing Method // Sixth International Conference on Information Technology: New Generations, Las Vegas, NV, 2009, pp. 356-361.
14. Kuznetsov A., Serhiienko R. and Prokopovych-Tkachenko D. Construction of cascade codes in the frequency domain // 4th International Scientific-Practical Conference Problems of Infocommunications. Science and Technology (PIC S&T). Kharkov, 2017. pp. 131-136.
15. Andrushkevych A., Kuznetsova T., Bilozertsev I. and Bohucharskyi S. The block symmetric ciphers in the post-quantum period // Third International Scientific-Practical Conference Problems of Infocommunications Science and Technology (PIC S&T), Kharkiv, 2016, pp. 43-46.

16. Gorbenko I.D., Dolgov V.I., Rublinetskii V.I., Korovkin K.V. Methods of Information Protection in Communications Systems and Methods of Their Cryptanalysis // Telecommunications and Radio Engineering. 1998. Volume 52, Issue 4, pp. 89-96.

17. Gorbenko I., Ponomar V. Examining a possibility to use and the benefits of post-quantum algorithms dependent on the conditions of their application // EasternEuropean Journal of Enterprise Technologies. Vol 2, No 9 (86) (2017), pp. 21-32.

18. Stasev Yu.V., Kuznetsov A.A. Asymmetric code-theoretical schemes constructed with the use of algebraic geometric codes // Kibernetika i Sistemnyi Analiz, No. 3, pp. 47-57, May-June 2005.

19. ДСТУ 7624:2014. Інформаційні технології. Криптографічний захист інформації. Алгоритм симетричного блокового перетворення. [On-line]. Internet: <http://shop.uas.org.ua/ua/informacijni-tehnologii-kriptografichnij-zahist-informacii-algoritm-simetrchnogo-blokovogo-peretvorennja.html>

20. eSTREAM Optimized Code HOWTO. [On-line]. Internet: <http://www.ecrypt.eu.org/stream/perf/> [Nov. 1, 2005].

*Харківський національний  
університет імені В.Н. Каразіна*

*Надійшла до редколегії 12.02.2018*